



Title	X線学的肺機能についての研究：乳癌術後照射による肺機能の変化
Author(s)	田岡, 忠弘
Citation	日本医学放射線学会雑誌. 1965, 24(12), p. 1242-1254
Version Type	VoR
URL	https://hdl.handle.net/11094/18154
rights	
Note	

The University of Osaka Institutional Knowledge Archive : OUKA

<https://ir.library.osaka-u.ac.jp/>

The University of Osaka

特別掲載

X線学的肺機能についての研究

乳癌術後照射による肺機能の変化

徳島大学医学部放射線医学教室（主任 河村文夫教授）

田 岡 忠 弘

（昭和40年1月25日受付）

Roentgenological studies on the pulmonary function.

On the pulmonary function of the postoperative irradiation on the breast cancer

Tadahiro Taoka

(Department of Medical Radiology, School of Medicine, Tokushima University, Tokushima)

(Director; Professor, Fumio Kawamura)

This paper deals with the regional pulmonary function of the patients who had breast cancer operated before irradiation by means of the densplanigraphy. The results obtained as follows;

1. The regional pulmonary function during and soon after irradiation was not changed by the densplanigraphy.
2. On the patients over 2 months after irradiation, the pulmonary function was reduced at the irradiated portion of the lung and on the patients over 6 months after the irradiation, the function was more reduced than the above cases. The changes on the patients over 6 months after the exposure might be caused by cicatrization and the changes was not restorable.

緒 言

胸部における放射線治療は、肺癌に対しては早期手術療法と共に有力なる手段であるが、照射による肺障害として照射肺臓炎、照射肺線維症などが必発しり^{1~5)}、治療上に多くの制限を与えていたことが報告されている⁶⁾。

乳癌術後照射においても可成の頻度で照射肺臓炎或いは照射肺線維症の発生が報告されている。しかしこの発生に要する線量とか、発生までの期間等の発生因子については明らかでない。この点について肺機能の面より追求を試みた。

肺機能の検査法^{7~8)}は近年著しい発展を示しているが、多くは高価な計測器や高度に習熟した手技を必要し、特殊検査法として限られた症例しか実施し得ないのが現状である。

X線学的肺機能検査法は Hurtado⁹⁾以来X線写真から全肺容量を、あるいは左右分割肺活量を求める方法が試みられたが、これらはいずれも正常人にあてはまるが病的な場合にはあてはまらず、臨床的には応用し得ないと云われている。河村¹⁰⁾、三浦¹¹⁾らは水ファントムを使用して肺野の Cinedensography による検査法が臨床的に実用し得ることを報告し、その後星野¹²⁾らはX線テレビを用い Brown 管上の肺野輝度の変化により、戸塚¹⁴⁾らはX線走査キモグラムを応用して肺機能検査を試み、いずれも臨床的に応用出来ることを確め、更に部分的肺機能もうかがう事が出来ると云う。

本報においては、水ファントムを用いたX線学的肺機能検査法により、乳癌術後照射による肺

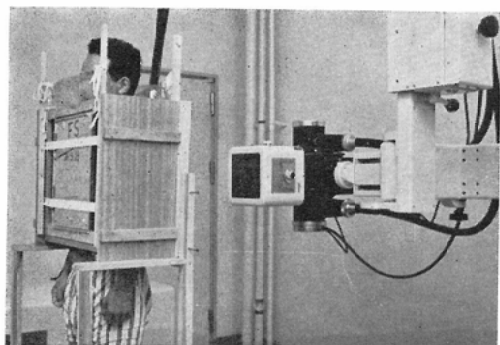


Fig. 1 The method of roentgenographing of the chest

機能の変化を照射前より経時的に測定し、照射後の肺機能低下の発生因子について検討を加えた。

測定方法

X線学的肺機能検査法は水ファントーム法¹⁰⁾によつた。被検者を水ファントーム枠内に立たせ、胸廓の前後に温水を充たしたビニール袋を置き、これを二枚の平行プラスチック板の間に狭む (Fig. 1)。呼吸運動により肺が拡張収縮を繰り返し、胸

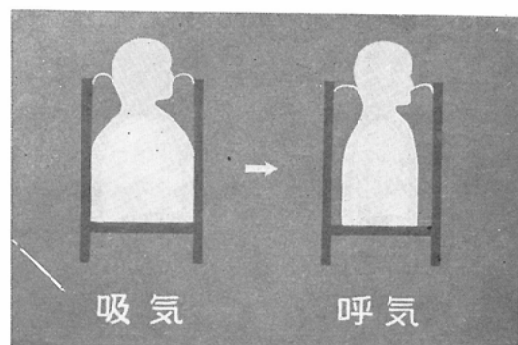


Fig. 2 Schematic presentation of the apparatus used for exposure

廓の厚さが変化するにつれて、水の層の厚さが変化する。そして呼吸による肺の容積の変化を水の厚さの変化に置き換えることが出来る。Fig. 2 に示す如く、吸気時には水の層はうすくなり、X線の透過量は増加する逆に呼気時には水の層が厚くなり、X線の透過量が減少する。こうしてX線量と黒化度の間に直線的関係の成立するフィルムの使用条件¹¹⁾ (黒化度 0.4乃至 1.8) となる様

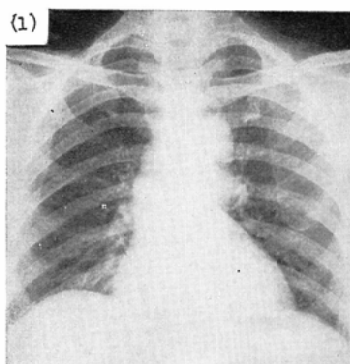
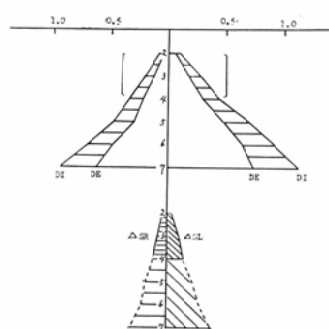


Fig. 3 M.T. 43 Female
normal case
1) Routine chest film
Densograms
2) at the maximal inspiration.
3) at the maximal expiration.



$$\frac{\Delta SR \times AR}{\Delta SL \times AL} = \frac{VCR}{VCL}$$

$$= 0.85$$

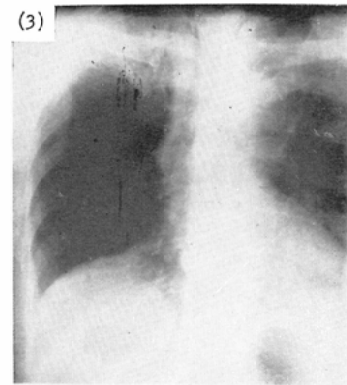
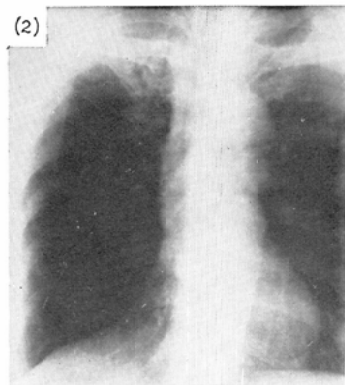
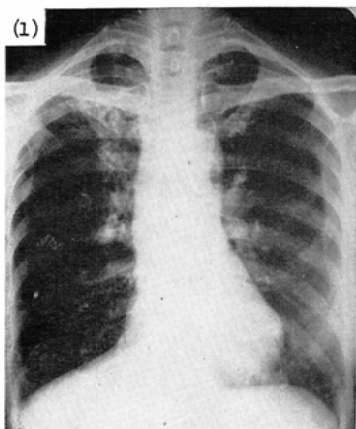


Fig. 4 K.I. 55 Female

- 1) Routine chest film
Densograms at 1.7 years
after irradiation
2) at the maximal
inspiration
3) at the maximal
expiration

	Area	Tumor Dose
A:	15 10cm	3500 r
B:	10 14cm	3500 r
C:	10 10cm	4000 r

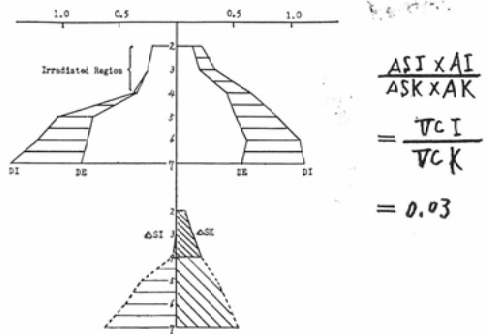
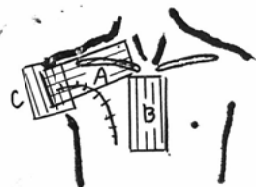
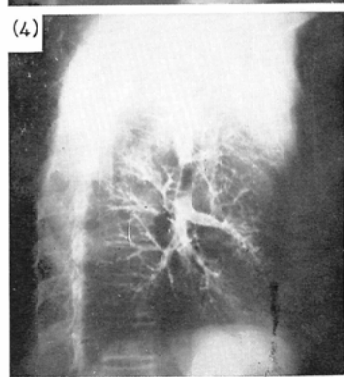
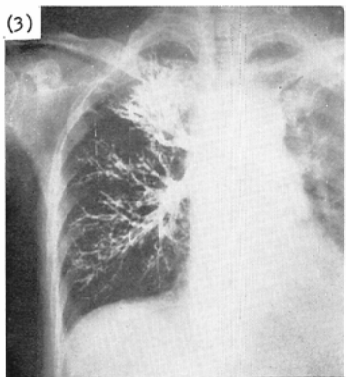
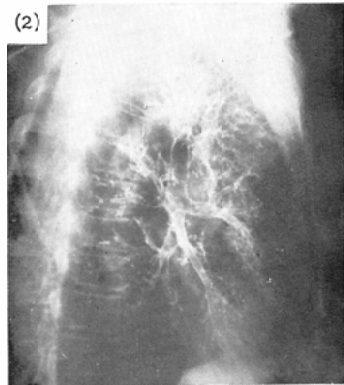
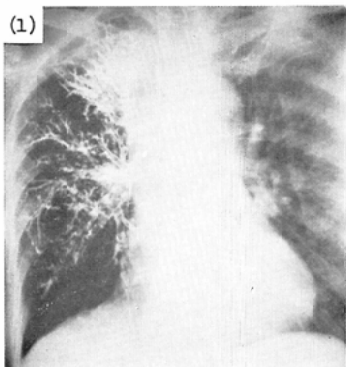


Fig. 5
Broncho grams of Fig. 4
1) 2). at the maximal
inspiration
3) 4). at the maximal
expiration



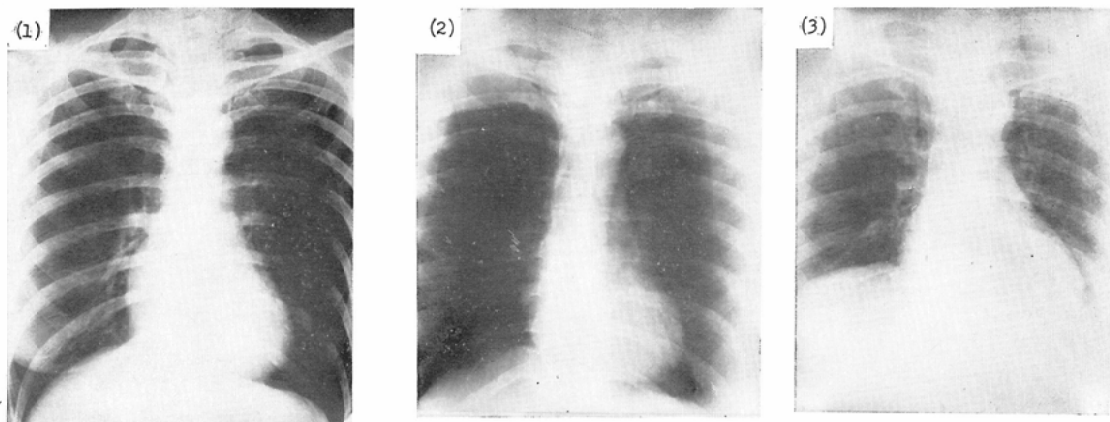


Fig.6 M.S. 51 Female

- 1) Routine chest film
Densograms at 2 months
after irradiation
2) at the maximal inspiration
3) at the maximal expiration

Area	Tumor Dose
A: 17.6 cm ²	4000 r
B: 5.11 cm ²	4000 r

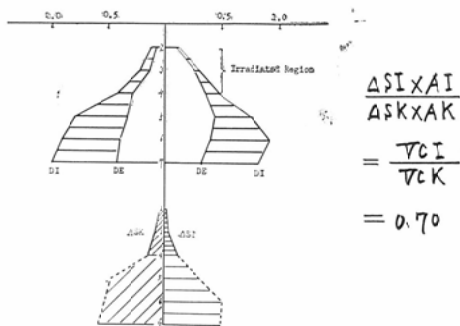
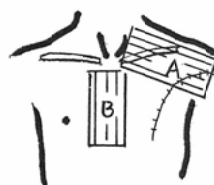
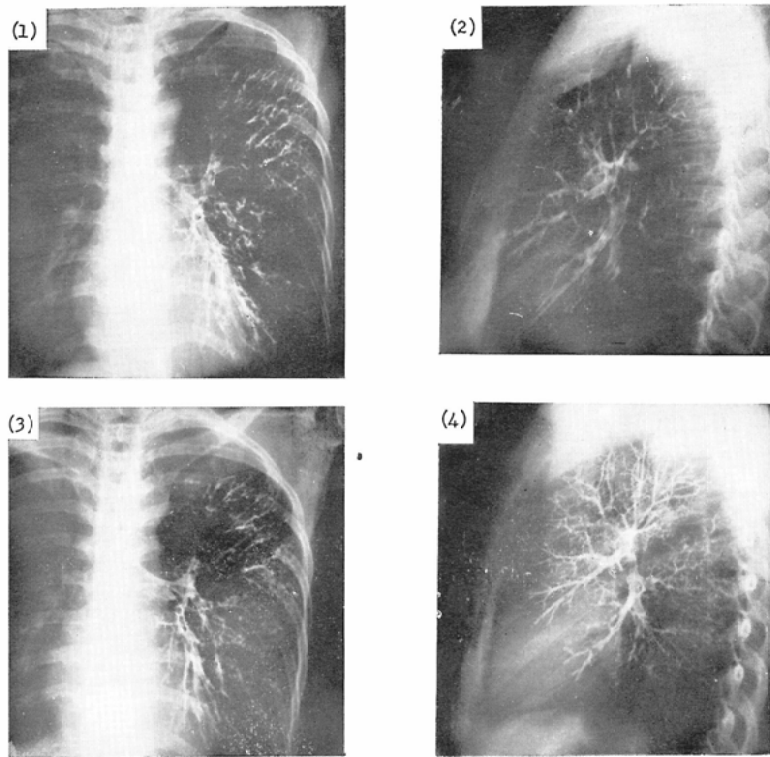


Fig.7
Broncho grams of Fig.6
1) 2). at the maximal
inspiration
3) 4). at the maximal
expiration



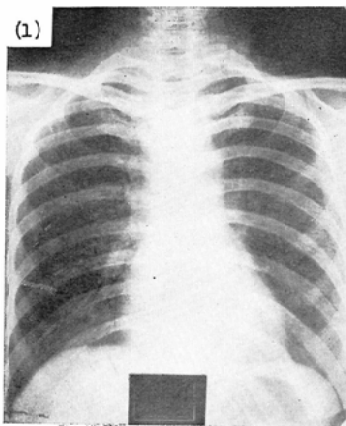


Fig.8 S.O. 41 Female
non-irradiated case
1) Routine chest film
Densograms at 3 months
after operation
2) at the maximal inspiration
3) at the maximal expiration

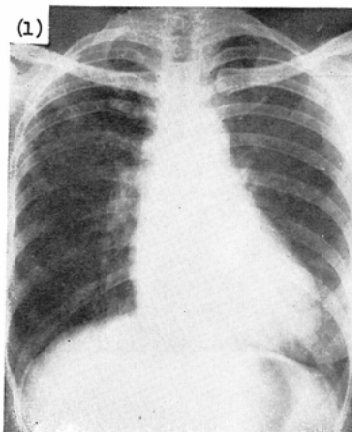
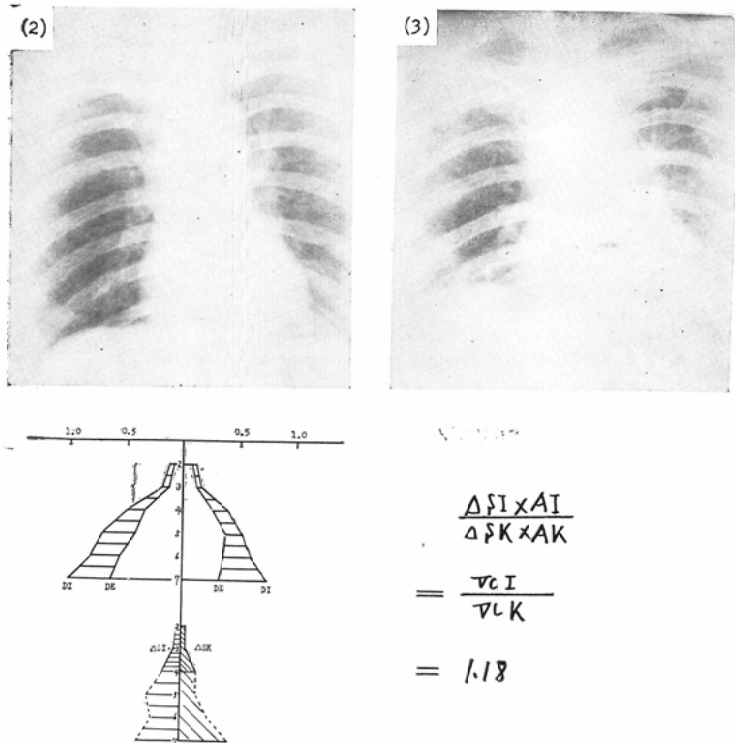
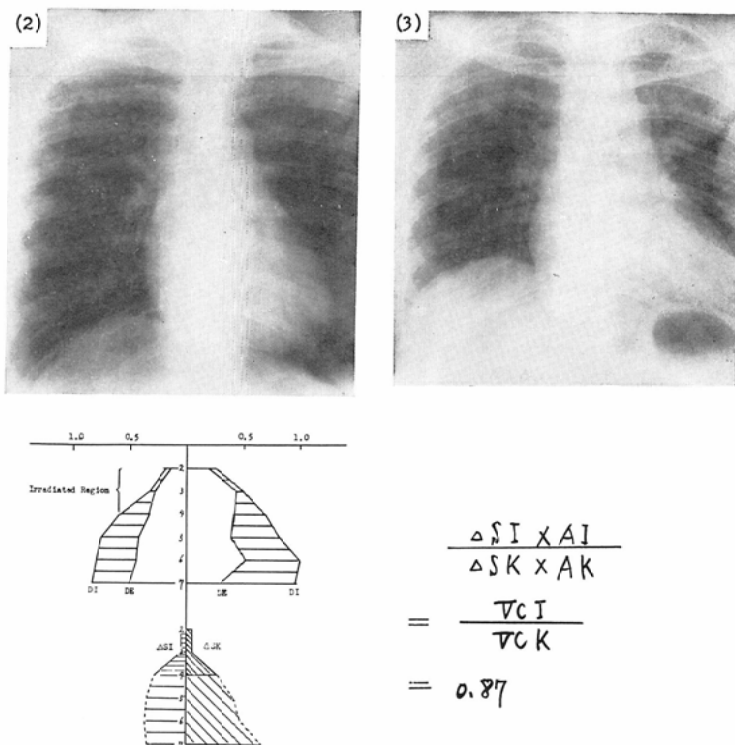


Fig.9 K.A. 43 Female
1) Routine chest film
Densograms during
irradiation
2) at the maximal inspiration
3) at the maximal expiration



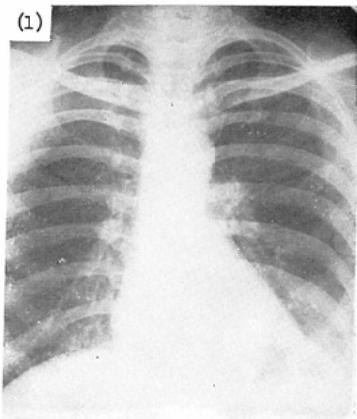
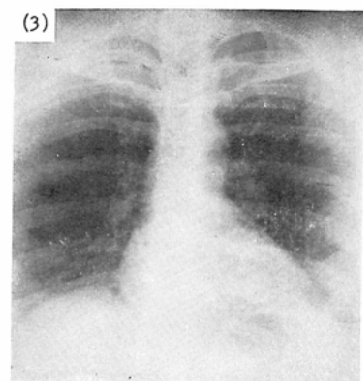
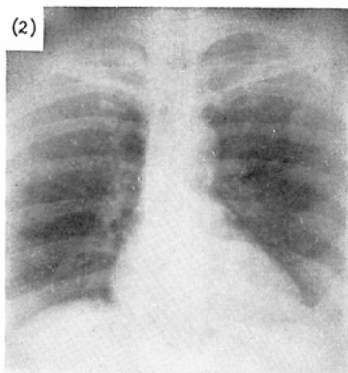


Fig. 10 A.Y. 40 Female

- 1) Routine chest film
- Densograms at 1 day
after irradiation
- 2) at the maximal inspiration
- 3) at the maximal expiration



$$\frac{\Delta SI \times AI}{\Delta SK \times AK} = \frac{VC_I}{VC_K} = 0.70$$

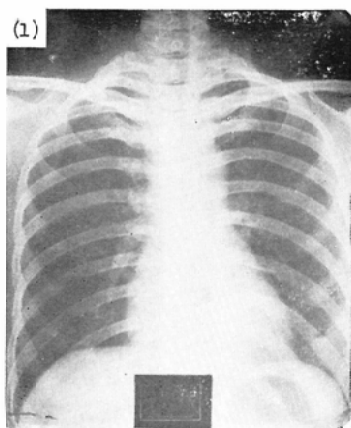
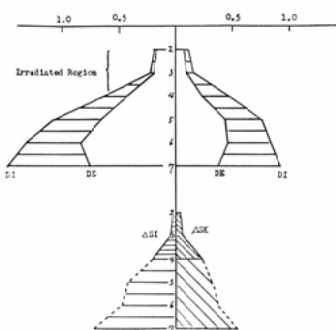
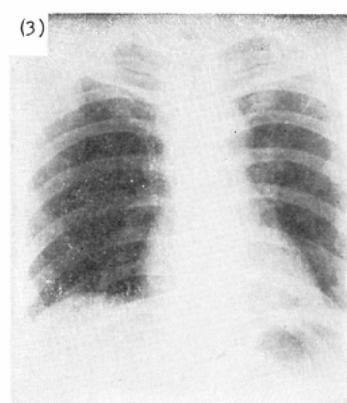
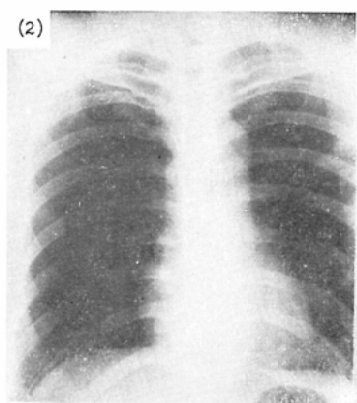


Fig. 11 S.O. 41 Female

- 1) Routine chest film
- Densograms at 2 months
after irradiation
- 2) at the maximal inspiration
- 3) at the maximal expiration



$$\frac{\Delta SI \times AI}{\Delta SK \times AK} = \frac{VC_I}{VC_K} = 0.75$$

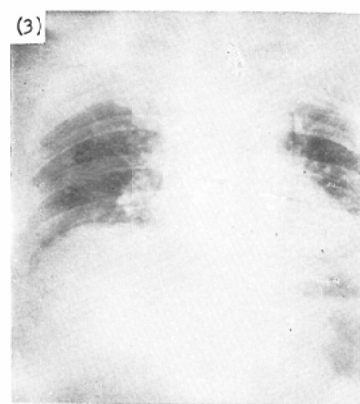
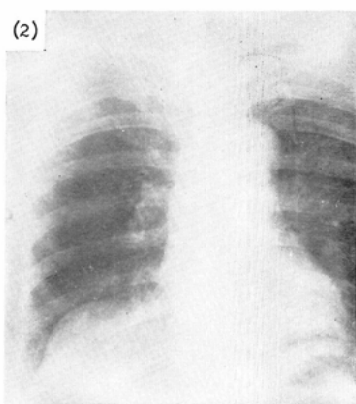
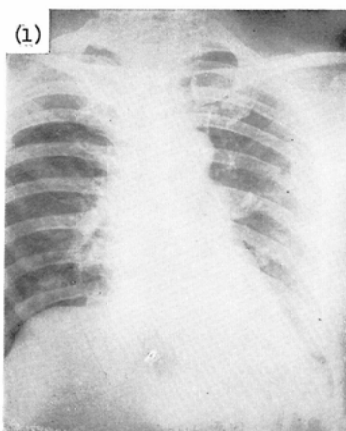
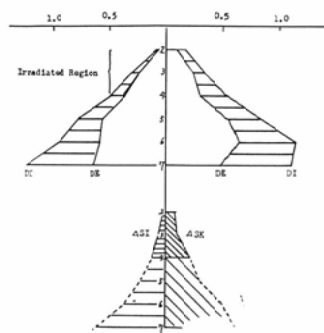


Fig.12 M.N. 45 Female

- 1) Routine chest film
Densograms at 4 months
after irradiation
- 2) at the maximal inspiration
- 3) at the maximal expiration



$$\begin{aligned}
 & \frac{\Delta S_I \times A_I}{\Delta S_K \times A_K} \\
 &= \frac{V_C I}{V_C K} \\
 &= 0.48
 \end{aligned}$$

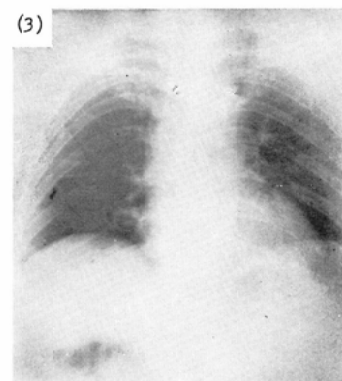
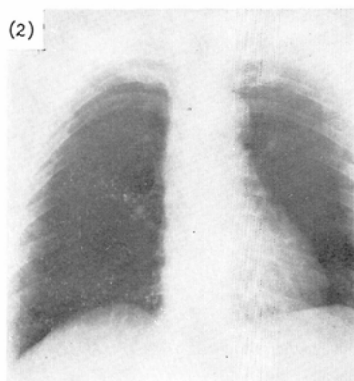
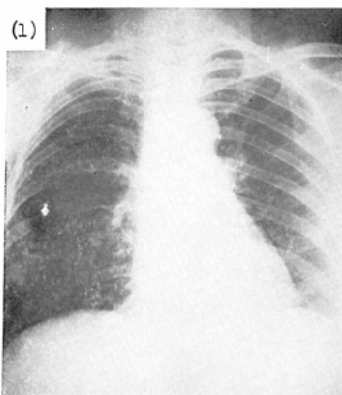
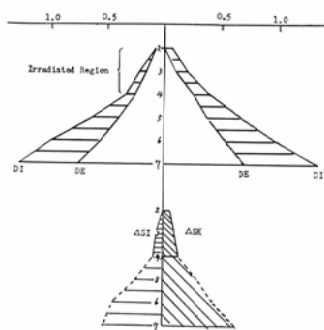


Fig.13 I.S. 44 Female

- 1) Routine chest film
Densograms at 6 months
after irradiation
- 2) at the maximal inspiration
- 3) at the maximal expiration



$$\begin{aligned}
 & \frac{\Delta S_I \times A_I}{\Delta S_K \times A_K} \\
 &= \frac{V_C I}{V_C K} \\
 &= 0.43
 \end{aligned}$$

な露出を与えるとこのX線の透過量の変化は、フィルム上の肺野各部の濃度変化となる。これを黒化度計を用いて測定すれば、肺野各部の含気量の変化を知り、肺機能をうかがう事が出来る。

深吸気時及び深呼気時撮影の二枚のフィルムで、左右各肺野後方肋間の黒化度から、基礎黒化度を差し引いた値を、それぞれ吸気濃度、呼気濃度とし、又吸気濃度と呼気濃度の差を濃度差とする。

先ず横軸に黒化度をとり、縦軸に各後方肋間部をとる。そして縦軸の両側に左右各肺野の吸気濃度及び呼気濃度をとり、それぞれ線で結び左右各肺野の吸気濃度曲線(DI)及び呼気濃度曲線(DE)を描く。すると2本の曲線(DI, DE)に囲まれる部分は濃度差(ΔS)となる。こうして濃度差をグラフに表わし、局所の面積を乗じ、左右各々を比較することによって、部分的肺機能の変化を推測した。肺面積は普通吸気時撮影のX線フィルムで測定した。

照射方法

当科における乳癌手術後患者の照射方法は通常次の如くである。(Fig. 4, Fig. 6)

鎖骨上下窩及び腋窩を含む $15 \times 10\text{cm}^2$ の照射野をとり、腋窩部は更に後方より $10 \times 10\text{cm}^2$ の照射野で不足線量を追加した。胸骨部は通常 $7 \times 12\text{cm}^2$ の照射野をとつた。1回照射線量は200r(皮膚面における空中線量)で鎖骨上下窩は主として ^{60}Co を用い、胸骨部はX線(200KV, HVL 2mmCu)又は ^{60}Co を用いた。皮膚線源間距離は通常50cmである。

病巣部の深さは通常鎖骨上下窩では3cm、腋窩では5cm、胸骨部では3cmとして計算した。病巣線量は腫瘍を認めない場合には3500r乃至5000r、腫瘍を認めた場合には6000r程度を照射した。手術野は照射せず、再発を見た場合にはRa針を挿入又は剔出術を行つてある。

正常人における肺機能

症例 M.T. 43才 女 (Fig. 3)

生来健康で既往歴に特記すべき事はない。現在も何等胸部に関する自覚症なし、普通写真の上でも全く異常を認めない。

部分的肺機能検査結果では鎖骨上下窩に相当する肺野(L₂~L₄及びR₂~R₄)の左右濃度差比 $\Delta S/\Delta S_L$ は0.80、その面積比 AR/ALは1.06と測定され、その換気量比 VCR/VCLは

$$\frac{\Delta S \times AR}{\Delta S_L \times AL} = \frac{VCR}{VCL} = 0.85$$

と計算される。正常人では一般にこの比は1.20乃至0.80で、本症例は正常範囲であった。

乳癌術後照射例における肺機能

症例 K.I. 55才 女 会社員 (Fig. 4, 5)

現症：2年前右乳房に小豆大の腫瘍を触知したが、自発痛や圧痛はなく放置していた。入院前腫瘍は増大し、軽度の牽引感を覚えたので外科を受診、右乳癌と診断され入院した。

入院時所見にて右乳房下外側に拇指頭大の腫瘍を認めるが、右腋窩及び鎖骨上下窩にはリンパ節を触れない。

手術及びその後の経過

右乳房切除術並びに右腋窩リンパ節廓清術をうけた。腫瘍は病理組織学的に腺癌と診断されたが、腋窩リンパ節等の転移は認められていなかつた。

術後49日目から ^{60}Co 照射が行なわれ、図の如く右鎖骨上下窩に対しては右腋窩も含めて30日間に病巣量3500r(以下病巣量)、縦隔洞にも30日間に3500rを照射し、更に腋窩に対しては背側より照射を追加して、合計38日間に4000rの照射を行つた。右鎖骨上下窩に対する照射は、深部7cmで約2200rとなり、右肺尖及び上肺野は中心において平均2200r照射された計算となる。右腋窩及び縦隔洞リンパ腺に対する照射は、出来るだけ肺野をさけ、手術野に対する胸壁照射は行わなかつた。

照射終了後、咳嗽、胸痛、微熱、倦怠感等の愁訴はみられなかつた。

6ヶ月後のX線像では照射部位に一致して肺紋理集束による直線状の索状影を認め、肺線維症を疑わしめた。この陰影は其後変化せず3年に及んでいる。

照射終了後1年9ヶ月で照射野の肺機能を測定した。

肺活量は1850ccで標準値2550cc（海老名氏式）の73%に相当し、軽度の減少を認めた。

水フアントーム法による Densogram では、正常人の左右肺尖及び上肺野濃度差の比は、おむね 0.8から 1.2であるが、本例の右肺尖及び上肺野濃度差（照射部）ΔSI と左肺対応部濃度差ΔSK の比は0.03と正常に比べ非常に小さな値を示した。その面積比 AI/AK は1.04と測定され、したがつて換気量の比 VCI/VCK は

$$\frac{\Delta SI \times AI}{\Delta SK \times AK} = \frac{VCI}{VCK} = 0.03$$

と計算される。照射部分の換気量は対側に比し非常に少い。しかし被照射部の深呼気時濃度は対側肺の対応健康部の値よりも大きく、残気量はむしろ増加し肺気腫性の変化をおこしていると考えられた。

本症例における気管支造影像 (Fig. 5) では、右上葉枝に著明なる拡張と集束像を認めた。深吸呼気により気管枝腔の拡張収縮はみられず、気管枝構の拡がりも認められない。

脳部X線写真上明らかに肺線維症を認めるものでは、部分的肺機能検査法でも局所の肺機能低下を認め、この本態は肺の瘢痕性変化によるものと考えられるが、これは気管支造影像の所見と一致していることが確められた。

症例 M.S. 51才 女 家婦 (Fig. 6,7)

現症：3年前左乳房上外側に豌豆大の腫瘍を触知し、試験切除の結果、慢性乳腺炎と云われた。その後1年後に試験切除の手術創に一致して再び腫瘍を生じ、漸次増大の傾向を示し自発痛あり、腫瘍剥出術を受け病理組織学的に腺癌と診断され直ちに外科に入院した。

入院所見にて左乳房は右乳房に比し、幾分萎縮挙上し、左乳房上外方に約7cmの手術創がみられるが、腫瘍は触知されない。左腋窩及び鎖骨上下窩のリンパ節も触れない。

手術及びその後の経過

前回の手術創瘢痕及び左乳房と共に、大胸筋を広汎に切除し、同時に左腋窩リンパ腺の廓清術を行つた。術後1ヶ月目から⁶⁰Co 照射が行なわれ、図の如く左鎖骨上下窩と左腋窩を含めて28日間に、それぞれ病巣量4000r 及び3000r を、縦隔洞には29日間に4000r の照射を行つた。左鎖骨上

下窩に対する照射は、必然的に左肺尖及び上肺野も照射し、その線量は肺野の中心で2500r と計算される。縦隔洞に対する照射は肺野を避け、手術野に対する胸壁照射は行なわなかつた。照射中及び終了後も食思不振、軽度の倦怠感を訴えたが、咳嗽、胸痛、微熱等の愁訴はみられなかつた。

照射終了2ヶ月後のX線像では、左肺野が全体に明るい他には一見何等の変化も認められない。

照射終了2ヶ月で照射野の肺機能を測定した。肺活量は2050ccで標準値2710cc（海老名氏式）の76%に相当し、軽度の減少を認めた。照射部と対側肺対応健康部の濃度差比 ΔSI/ΔSK は0.65、その面積比 AI/AK は0.97と測定され、したがつてその換気量比 VCI/VCK は

$$\frac{\Delta SI \times AI}{\Delta SK \times AK} = \frac{VCI}{VCK} = 0.63$$

と計算される。被照射部の換気量は対側に比し軽度の減少を示す。被照射部の深呼気時濃度は対側肺の対応健康部よりも大きく、残気量は増加して肺気腫性の変化をおこしていると考えられた。

本症例における気管支造影像 (Fig. 7) では、B₁₊₂ が全く運動せず、B₃ の動きも微弱であり造影剤の進展は不良である。これは部分的肺機能検査法による肺機能低下の所見と、よく一致し普通写真の上では一見著変を認められないものでも、水フアントーム法によれば肺機能の低下を知ることが出来ることを示している。

乳癌手術後未照射例における肺機能

症例 S.O. 41才 女 (Fig. 8)

3ヶ月前、右慢性乳腺炎及び悪性変化の疑いで右乳房切除術及び腋窩リンパ節廓清術を受けたが、切除乳腺には病理組織学的に悪性の所見は認められず放射線治療は受けていない。術後右上肢に運動制限あり、前方及び側方に90°以上挙上することが出来ない。水フアントーム法による両側肺尖及び上肺野の濃度差比 ΔSI/ΔSK は1.20で、これは正常範囲の上限であつた。又その面積比 AI/AK は0.94で術側はわずかに小さかつた。その換気量の比 VCI/VCK は

$$\frac{\Delta SI \times AI}{\Delta SK \times AK} = \frac{VCI}{VCK} = 1.11$$

となり、術側肺尖及び上肺野に換気量の低下は認

Table 1. The pulmonary function of the postoperative breast cancer patients.
(non-irradiation and within a month after irradiation)

Case	Times	Tumor dose	Lung dose	$\Delta SI/\Delta SK$	$\frac{\Delta SI \times AI}{\Delta SK \times AK}$	Degree of dysfunction
M. S.	6 m. after operat.	non-irrad.	1.14	1.10	—
S. O.	3 m. after operat.	"	1.20	1.11	—
N. B.	1 m. after operat.	"	1.11	0.98	—
M. T.	"	"	0.83	0.83	—
K. A.	during irrad	3500 r/23 (γ)	2500 r	0.90	0.87	—
Y. D.	"	3000 r/20 (X)	1900 r	0.75	0.78	—
K. H.	"	2700 r/18 (X)	1700 r	0.81	0.83	—
A. Y.	1 d. after irrad.	3900 r/25 (X)	2800 r	0.74	0.70	+
K. Y.	"	4000 r/27 (X)	2500 r	0.73	0.77	—
T. K.	1 w. after irrad.	5500 r/38 (X)	3500 r	0.65	0.62	+
J. T.	1 m. after irrad.	4000 r/30 (γ)	2500 r	0.78	0.78	—

Abbreviations : 卅 ; 0—0.25, 卌 ; 0.26—0.50, + ; 0.51—0.75, — ; 0.76—.
m. ; month, d ; day, w. ; week.

められなかつた。

乳癌根治手術後放射線治療を受けていないものの肺尖及び上肺野の部分的肺機能検査結果 (Table 1) では、術後6ヶ月に及ぶもいずれも正常範囲であつた。乳癌根治手術後には軽度の上肢運動制限が必発するが、それによる肺尖及び上肺野の肺機能低下は認められない。

乳癌手術後照射中の肺機能

症例 K.A. 43才 女 (Fig. 9)

右乳癌根治手術後、放射線治療中である。普通写真においては照射部に変化を認めない。右鎖骨上下窩及び縦隔洞には23日間に3500r。右腋窩には2900r 照射されており、右肺尖及び上肺野は中心で2500r 照射されている。照射部 ($R_2 \sim R_4$) と対側肺の対応健康部 ($L_2 \sim L_4$) の濃度差比 $\Delta SI/\Delta SK$ は0.90、面積比 AI/AK は0.96と測定され、したがつてその換気量の比 VCI/VCK は

$$\frac{\Delta SI \times AI}{\Delta SK \times AK} = \frac{VCI}{VCK} = 0.87$$

と計算され、左右略々等しい。

照射中のものでは (Table 1)、いずれも肺機能は正常範囲であつた。

乳癌手術後照射終了1月以内の肺機能

症例 A.Y. 40才 女 (Fig. 10)

右乳癌根治手術後、放射線治療終了1日目に測定した。普通写真においては照射部に変化を認め

ない。右鎖骨上下窩及び縦隔洞には25日間に3900r、右腋窩には32日間に4000r 照射され、右肺尖及び上肺野は中心で2800r 照射された計算となる。照射部 ($R_2 \sim R_4$) と対側肺の対応健康部 ($L_2 \sim L_4$) の濃度差比 $\Delta SI/\Delta SK$ は0.74、その面積比 AI/AK は0.95と測定され、したがつてその換気量の比 VCI/VCK は

$$\frac{\Delta SI \times AI}{\Delta SK \times AK} = \frac{VCI}{VCK} = 0.70$$

と計算され、照射部には軽度の換気量減少を認めた。

照射後1ヶ月以内のもの部分的肺機能検査結果 (Table 1) では、照射部換気量は正常範囲の下限乃至軽度の減少が認められた。

乳癌手術後照射終了後1~6月以内における肺機能

症例 S.O. 41才 女 (Fig. 11)

右乳癌根治手術をうけ、放射線治療終了2ヶ月後である。普通写真では変化を認めない。右鎖骨上下窩及び右腋窩をふくめて28日間にそれぞれ4200r及び3600rを、縦隔洞には28日間に4200r 照射し、右肺尖及び上肺野は中心で3100r 照射されている。照射部 ($R_2 \sim R_4$) と対側肺の対応健康部 ($L_2 \sim L_4$) の濃度差比 $\Delta SI/\Delta SK$ は0.79、面積比 AI/AK は0.95と測定され、したがつてその換気量比 VCI/VCK は

Table 2. The pulmonary function of the breast cancer patients from 1 to 6 months after postoperative irradiation.

Case	Times	Tumor dose/Days	Lung dose	$\Delta SI/\Delta SK$	$\Delta SI \times AI / \Delta SK \times AK$	Degree of dysfunction
T. K.	1 month	5500 r/ 38 (X)	3500 r	0.72	0.68	+
K. S.	2 months	4000 r/ 28 (X)	2500 r	0.84	0.81	-
K. H.	2 months	4000 r/ 27 (X)	2500 r	0.21	0.28	++
M. S.	2 months	4100 r/ 28 (X)	2500 r	0.65	0.70	+
S. O.	2 months	4200 r/ 28 (Y)	3100 r	0.79	0.75	+
T. T.	3 months	3600 r/ 25 (X)	2300 r	0.44	0.48	++
M. N.	4 months	4000 r/ 29 (Y)	3000 r	0.50	0.48	++

Abbreviations¹ : ++ ; 0—0.25, + ; 0.26—0.50, + ; 0.51—0.75, - ; 0.76—

Table 3. The pulmonary function of the postoperative breast cancer patients from 1 to 6 months after irradiation.

Case	Times	Tumor Dose/Days	Lung dose	$\Delta SI/\Delta SK$	$\Delta SI \times AI / \Delta SK \times AK$	Degree of dysfunction
H. S.	6 months	3900 r/ 35 (X)	2400 r	0.69	0.66	+
I. S.	6 months	4000 r/ 34 (X)	2500 r	0.50	0.48	++
T. N.	6 months	4000 r/ 57 (X)	2500 r	0.40	0.40	++
M. I.	7 months	2800 r/ 63 (X)	1800 r	0.38	0.41	++
O. S.	8 months	4000 r/ 37 (X)	2500 r	0.54	0.49	++
H. O.	19 months	4000 r/ 44 (Y)	2600 r	0.06	0.06	++
S. K.	20 months	3700 r/ 41 (Y)	2400 r	0.11	0.09	++
T. I.	20 months	4000 r/ 38 (Y)	2600 r	0.50	0.50	++
K. I.	21 months	3500 r/ 30 (X)	2200 r	0.03	0.03	++
S. H.	21 months	4800 r/ 51 (Y)	3200 r	0.11	0.11	++
T. N.	24 months	4300 r/ 39 (Y)	2800 r	0.22	0.25	++
U. O.	46 months	4800 r/ 54 (Y)	3200 r	0.24	0.21	++

Abbreviations : ++ ; 0—0.25, + ; 0.26—0.50, + ; 0.51—0.75, - ; 0.76—

$$\frac{\Delta SI \times AI}{\Delta SK \times AK} = \frac{VCI}{VCK} = 0.75$$

と計算され、照射部に軽度の換気量減少を認められた。

症例 M.N. 45才 女 (Fig. 12)

右乳癌根治手術をうけ、放射線治療終了4ヶ月後である。普通写真には変化を認められない。右鎖骨上下窩及び縦隔洞には29日間にそれぞれ4000r、右腋窩には35日間4000r照射し、右肺尖及び上肺野は中心で3000r照射されている。照射部($R_2 \sim R_4$)と対側肺の対応健康部($L_2 \sim L_4$)の濃度差比 $\Delta SI/\Delta SK$ は0.50、その面積比AI/AKは0.96と測定され、したがつてその換気量比 VCI/VCK は

$$\frac{\Delta SI \times AI}{\Delta SK \times AK} = \frac{VCI}{VCK} = 0.48$$

と計算された。照射中には中等度の換気量減少が

認められた。

照射終了後1~6ヶ月以内のものにおける部分的肺機能検査結果(Table 2)では、2ヶ月で軽度の肺機能低下を認め、それ以上経過したものでは可成の低下が認められた。

乳癌手術後照射終了6ヶ月以上の肺機能

症例 I.S. 44才 女 (Fig. 13)

右乳癌根治手術をうけ、放射線治療終了6ヶ月後である。普通写真では変化を認めない。右鎖骨上下窩及び縦隔洞には29日間にそれぞれ4000r、右腋窩には35日間に4000r照射し、右肺尖及び上肺野は中心で3000r照射されている。照射部($R_2 \sim R_4$)と対側肺の対応健康部($L_2 \sim L_4$)の濃度差比 $\Delta SI/\Delta SK$ は0.45、その面積比AI/AKは0.95と測定され、したがつてその換気量比 VCI/VCK

は

$$\frac{\Delta SI \times AI}{\Delta SK \times AK} = \frac{VCI}{VCK} = 0.43$$

と計算された。照射部には明らかな換気量の減少が認められた。

照射終了後6ヶ月以上経過したものの部分的肺機能検査結果(Table 3)では、照射部に明らかな換気量の減少が見られ、約4年経過したものでも同様であった。

考 按

以上の結果を要約すると照射中の症例には肺機能低下を認めず、2~6ヶ月経過したものでは例外なく照射部に肺機能低下が認められ、6ヶ月以上経過したものでは変化が固定していた。しかも照射されていない症例では、肺機能の低下をみないことから、これは照射による変化と考えられる。この変化は被照射部の換気量減少であり、出現経過よりみて、照射による肺組織瘢痕化によるものと考えられる。

肺に放射線を照射したときの変化として、照射肺臓炎 Radiation Pneumonitis、あるいは照射肺線維症 Radiation lung fibrosis が知られている。Grover¹⁴⁾はこれを Roentgen Pleuropneumonitis とよび、Hines¹⁵⁾は深部治療後に惹起する肺の線維症について、又、Desjardins¹⁶⁾は照射の心肺に対する作用について記載し、その後 Engelstad¹⁷⁾及び Warren は肺に対する照射の影響を実験病理学的に研究している。中原¹⁸⁾は肺内深部線量が2000~3000rに達すると比較的高率に放射性肺炎が発生するとし、立野¹⁹⁾は4000~5000r、照射期間平均21週間で発生をみたと述べ、又梅垣²⁰⁾は1月に2000r程度以下では殆ど本症の発生をみない、2000rを超えると、可成の率にX線像上に変化を認めると言っている。

昭和36年4月以降、当科に於て乳癌術後放射線治療を行つた患者の内27名について照射後の影響を観察した。照射野は病側鎖骨上下窩及び腋窩、縦隔洞におき、それぞれリンパ節に対して4週間乃至6週間で4000~4500rを照射した。このうち鎖骨上下窩に対する照射は必然的に肺尖及び上肺野に中心で2500~3000rの照射を与えることとな

る。治療後咳嗽、胸痛、発熱等の自覚症状を来たしたものはほとんどなかつた。X線像の上で照射部位に限局して明らかに不均等な斑点状又は線状影等を認めたものは27名中4名にすぎず、他の症例は3年後でも普通写真の上では一見変化を認めなかつた。

深吸気及び深呼気の状態を水ファントムにより同一の厚さとし、肺内換気量の変化を水の厚さの変化に置換し、フィルム上の濃度差から換気量の変化を推測し、障害の有無を調べた。

その結果照射中及び照射直後には換気量の減少をみないが、照射終了2ヶ月より局所の換気量減少が推測され、6ヶ月以上経過したものでは対側肺の対応健康部に比し著明な換気量減少が推測された。吉村²¹⁾によれば照射肺臓炎は33例中17例(51.5%)、中山²²⁾によれば30例中2例(7%)と、その発生頻度は非常に低い値を示しているが、これは乳癌術後照射の場合は、照射野が肺の辺縁部に位置するため自覚症状が少く、且つ普通写真の上では変化が認め難いためと考えられる。水ファントム法によれば全症例に例外なく照射後2ヶ月後より照射部位に限局して換気量の減少が推測され、これはくり返し検するも回復を認めず不可逆的な障害が存在していると考えられる。

中山²²⁾はX線照射例には照射性肺臓炎の発生をみず、⁶⁰Co照射例のみに認めたと述べているが、本症例群ではX線照射例、⁶⁰Co照射例共に変化は等しく両者に差を認めなかつた。本症の肺機能については吉村²¹⁾は患側肺内ガス混合の異常を認めたのみで、換気機能障害は認められなかつたとしているが、これは肺全体に対する機能検査であり、片側の肺尖及びその附近に限局する局所性の換気量減少を推測することは困難なためと思われる。亘野²³⁾は全肺容量の減少、換気障害、血管の絶対面積および伸展性の減少に伴う静脈血の動脈血化の低下、肺性高血圧及びこれに起因する肺性心又は循環不全等を認め、中山²²⁾は肺活量及び換気予備率の減少と患側肺活量の減少を認めていいるが、部分的肺機能については論ぜられていない。この点水ファントム法は簡便で且つ部分的

肺機能をうかがう点に照射後の影響を知る優れた方法であつた。

水ファントーム法による部分的肺機能検査では何れも照射中には肺機能低下を認めず、照射後2ヶ月から肺機能低下が認められ6ヶ月以降になるとそれが固定することから考えて、これは照射による肺組織瘢痕化によるもので、照射後におこる一般的の変化と考えられる。

岡²⁴⁾は照射後の障害影の本質は線維性無気肺であるとし、失われた肺容積の量を現わし得れば損失の比較を行う場合に便宜であると述べているが、本法こそこの要求に応えるものと思われる。更に我々の照射法では肺機能の低下は深吸気濃度と深呼気濃度の差の減少として現われ、照射部呼気濃度は対側健康部と比較して一般に減少していない。したがつて深呼気時の残気量は減少せず、肺機能低下の本質は照射局所の肺気腫性変化と換気量の減少である。

結 語

水ファントームを用いたX線学的肺機能測定法により、乳癌術後照射による部分的肺機能を測定した。

1. 乳癌手術後照射されていないものには肺機能の変化を認められない。

2. 乳癌手術後照射中及び直後には肺機能の低下を認められない。

3. 照射終了後2ヶ月以上経過したものでは例外なく照射部に一致して局所肺機能低下が認められる。照射後6ヶ月以上経過せるものでは高度な肺機能低下を認め、これは回復せず、照射による肺組織の瘢痕化によるものと考えられる。

本論文の要旨は、昭和38年9月、第111回徳島医学会及び昭和38年11月、第3回日本医学放射線学会西日

本部会に於て発表した。

稿を終えるにあたり、終始御懇意なる御指導御校閲をいただきましいた恩師、河村文夫教授に厚くお札申し上げます。

又温温い御援助を惜しまれなかつた三浦孝文博士及び医局諸兄に深甚なる謝意を表します。

文 献

- 1) Mc Dntosh, H.C. and Spitz, S.: Am. J. Roentgenol. 41, 605 (1939).
- 2) Warren, S. and Spencer, I.: Am. J. Roentgenol. 43, 682 (1940).
- 3) Freid, J.R. and Goldberg, H.: Am. Roentgenol. 43, 877 (1940).
- 4) Borgstrom, K.E. and Gynning, I.: Acta Radiol. 47, 281 (1957).
- 5) 梅垣：放射線医学，808，医学書院（1959）。
- 6) 金上、馬場、尾形、菊池：日本胸部臨床，21，683（1962）。
- 7) 中村、滝島：肺機能とその臨床，文光堂（1960）。
- 8) 百瀬：総合臨床，13，877（1964）。
- 9) Hurtado, A. and Fray, W.W.: J. Clin. Dnvest. 12, 807 (1933).
- 10) 河村：日医放学会誌，21，300（1961）。
- 11) 三浦：日医放学会誌，22，250（1962）。
- 12) 星野、磯部：日医放学会誌，23，1234（1964）。
- 13) 戸塚、溝上：臨床放射線，7，642（1962）。
- 14) Grover, T.A.: Am. J. Roentgenol. 10, 471 (1923).
- 15) Hines, L.E.: J.A.M.A. 79, 720 (1922).
- 16) Desjardins, A.V.: Am. J. Roentgenol. 28, 701 (1923).
- 17) Engelstad, R.B.: Acta radiol. 18, 32 (1937).
- 18) 中原、藤井、林、高橋、池田、服部、松本：総合医学，16，1037（1959）。
- 19) 立野：臨床放射線，5，27（1960）。
- 20) 梅垣：放射線医学，406，医学書院（1959）。
- 21) 吉村、佐藤、牧田：日結，18，99（1959）。
- 22) 中山、福原、平野、今：日内学会誌，49, 304 (1960).
- 23) 宣理：医学の歩み，32，423（1960）。
- 24) 岡：臨床放射線，6, 15 (1961).